

# تخمین آب شستگی در مجاورت پایه های پل جفت توسط مدل بهینه ANFIS - کرم شب تاب

سیامک امیری (دانشجوی دکتری)

فریدریز یوسفوند \* (استادیار)

سعید شعبانلو (دانشیار)

گروه مهندسی آب، واحد کوهنشاه، دانشگاه آزاد اسلامی، کوهنشاه، ایران

در این مطالعه برای اولین بار با استفاده از یک الگوریتم بهینه سازی شده‌ی ترکیبی الگوی آب شستگی در مجاورت پایه های پل دوقلو پیش‌بینی شد. الگوریتم ترکیبی (ANFIS-FA) از ترکیب شبکه‌ی انفیس (ANFIS) و الگوریتم کرم شب تاب (FA) حاصل شد. سپس با استفاده از پارامترهای مؤثر بر روی عمق آب شستگی در مجاورت پایه های دوقلو، چهار مدل ANFIS و ANFIS-FA تعریف شدند. بر اساس نتایج مدل سازی، تجزیه و تحلیل نتایج نشان داد که مدل های ANFIS-FA دارای دقت بیشتری در مقایسه با ANFIS بودند. سپس تحلیل حساسیت مدل انجام شد. مدل برتر تابعی از کلیه‌ی پارامترهای ورودی بود. مثلاً مقادیر  $R^2$ , MAPE و RMSE برای این مدل به ترتیب مساوی با  $0.991$ ,  $0.876$ ,  $0.15$  هستند. همچنین نتایج توزیع خط انتشار داد که حدوداً ۶۶ درصد نتایج مدل برتر دارای خطای کمتر از ۵ درصد بودند. سپس مؤثرترین پارامتر ورودی برای تخمین عمق حفره‌ی آب شستگی در اطراف پایه های پل جفت، عدد فروdes (Fr)، معروفی شد. سپس با انجام یک تحلیل عدم قطعیت مشخص شد که مدل برتر دارای عملکردی بیشتر از مقدار واقعی بود.

وازگان کلیدی: ANFIS، الگوریتم کرم شب تاب، عمق آب شستگی، پایه های پل جفت، تحلیل عدم قطعیت.

## ۱. مقدمه

در خروجی زیرآبگذرها<sup>۱</sup> را مدل سازی کردند. آنها برای تخمین آب شستگی دو مدل مختلف ارائه کردند که با تجزیه و تحلیل نتایج خود نشان دادند که مدل عددی از دقت مناسبی برخوردار است.<sup>[۲]</sup> برای پیش‌بینی عمق آب شستگی در مجاورت گروه پایه های پل با استفاده از انفیس، باتنی و جنگ<sup>(۲۰۰۷)</sup> یک مدل عددی ارائه دادند.<sup>[۳]</sup>

آب شستگی پایه های پل دایری شکل با استفاده از الگوریتم های شبکه‌ی عصبی مختلف توسط فیرات و گونگور<sup>(۲۰۰۹)</sup> مدل سازی شد.<sup>[۴]</sup> برای پشت‌بند پل ها به شکل مختلف، مورامیل<sup>(۲۰۱۰)</sup> با استفاده از روش های انقیس و شبکه‌ی عصبی عمق حفره‌ی آب شستگی را شبیه سازی کرد.<sup>[۵]</sup> او با تجزیه و تحلیل نتایج مطالعه‌ی خود نشان داد که مدل ANFIS از دقت پیشتری برخوردار است. همچنین نجف زاده و همکاران<sup>(۲۰۱۲)</sup> با استفاده از مدل دسته‌بندی گروهی داده ها و ماشین بردار پشتیبان عمق آب شستگی در نزدیکی پشت‌بند پل ها را برای شرایط هیدرولیکی آب زلال و شرایط کف کانال بستر متحرک تخمین زدند.<sup>[۶]</sup> تجزیه و تحلیل نتایج مطالعه‌ی آنها نشان دهنده‌ی دقت پیشتر مدل دسته‌بندی گروهی داده هاست. عظیمی و همکاران<sup>(۲۰۱۶)</sup> مدل ANFIS را برای پیش‌بینی آب شستگی در مجاورت گروه پایه های پل در شرایط آب صاف بهینه سازی کردند.<sup>[۷]</sup> شعبانلو و همکاران<sup>(۲۰۱۸)</sup>

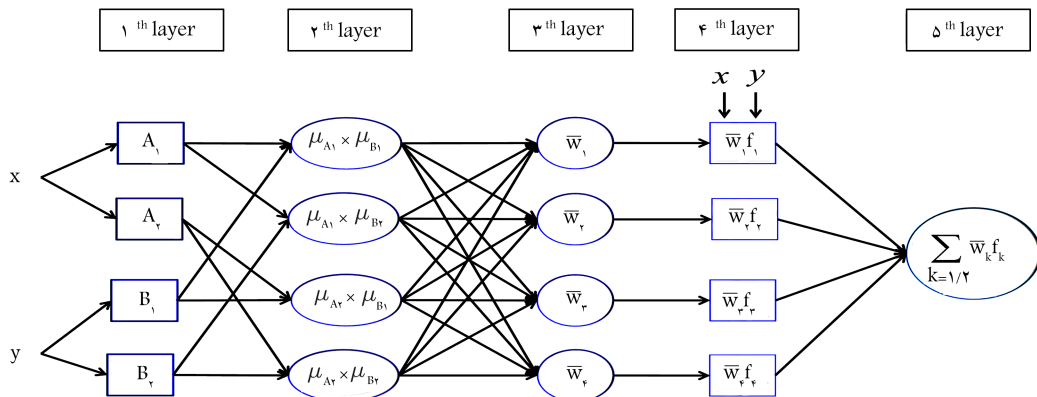
به طور کلی، آب شستگی یکی از دلایل اصلی در تخریب پل ها محسوب می‌شود. بنابراین شناخت دقیق این پدیده، پیش‌بینی حجم آن و درنظر گرفتن آن در طراحی پل ها و مهم تراز همه بهکار بردن تمیهیات لازم برای کترل و کاهش آب شستگی از اهمیت بسزایی برخوردار است. مثلاً عطایی آشیانی و همکاران<sup>(۲۰۱۰)</sup>، امینی و همکاران<sup>(۲۰۱۱)</sup>، پرسون و همکاران<sup>(۲۰۱۵)</sup>، وانگ و همکاران<sup>(۲۰۱۶)</sup> و اولیتو و مارینو<sup>(۲۰۱۶)</sup> الگوی آب شستگی را در مجاورت پایه های پل بررسی کردند.

در سال های اخیر استفاده از محاسبات نرم برای پیش‌بینی مسائل پیچیده و غیرخطی بسیار گسترش یافته است. از طرف دیگر مطالعات مختلفی نیز برای پیش‌بینی الگوی آب شستگی در اطراف پل ها انجام گرفته است. ترنت و همکاران<sup>(۱۹۹۳)</sup> آب شستگی در اطراف پایه های پل را در شرایط هیدرولیکی آب زلال و بستر متحرک با استفاده از شبکه‌ی عصبی مصنوعی تجزیه و تحلیل کردند.<sup>[۸]</sup> لیریانو و دای<sup>(۲۰۰۱)</sup> توسط مدل های شبکه‌ی عصبی مصنوعی عمق آب شستگی

\* نویسنده مسئول

تاریخ: دریافت ۴ آذر ۱۳۹۱، اصلاحیه ۲، ۲۲، تاریخ ۱۹ آذر ۱۳۹۹، پذیرش ۱۹ آذر ۱۳۹۹.

DOI:10.24200/J30.2020.53832.2591



شکل ۱. ساختار شبکه‌ی انفیس برای مدل با دو ورودی.

کمینه‌سازی اختلاف خروجی به دست آمده از شبکه و خروجی واقعی است. شبکه‌ی ANFIS دارای  $m$  ویژگی ورودی و  $n$  قانون است که هر قانون به صورت زیر بیان می‌شود:<sup>[۱۵]</sup>

$$R_i : \text{if } (x_1 \text{ is } f_{i1}) \text{ and } (x_j \text{ is } f_{ij}) \text{ and }$$

$$(x_m \text{ is } f_{im}) \text{ then output} = f_i \quad (1)$$

که در آن  $x_j$   $j^{th}$  ورودی و تابع عضویت قانون روى  $x_j$  و  $f_i$  خروجی قانون است. تابع عضویت  $g_{ij}$  که دارای شکل Gaussian است به صورت زیر تعریف می‌شود:<sup>[۱۶]</sup>

$$g_{ij}(x) = \exp\left(-\frac{1}{2}\left(\frac{x - c_{ij}}{\sigma_{ij}}\right)^2\right) \quad (2)$$

از ضرب به عنوان عملگر «AND» استفاده شده است. در نتیجه خواهیم داشت:<sup>[۱۵]</sup>

$$\mu_i = \prod_{j=1}^m g_{ij}(x_j) \quad (3)$$

که در آن  $\mu_i$  درجه‌ی فعال شده‌ی قانون را نشان می‌دهد. خروجی سیستم نیز با رابطه‌ی مرکز نقل به صورت زیر محاسبه می‌شود:<sup>[۱۵]</sup>

$$f(x) = \frac{\sum_{i=1}^n \mu_i f_i}{\sum_{i=1}^n \mu_i} \quad (4)$$

پنج عامل مهم و مؤثر در مدل‌سازی ANFIS، عبارت‌اند از: نوع مجموعه‌های فازی ورودی، تعداد مجموعه‌های فازی ورودی، نوع مجموعه‌ی فازی خروجی، شیوه‌ی بهینه‌سازی و تعداد تکرارها. مجموعه‌های فازی ورودی در انواع مختلفی مانند مثلثی، ذوزنقه‌ی، گوسی و ... هستند. در این مطالعه، با توجه به عملکرد خوب گوسی در مطالعات اخیر، از این نوع استفاده می‌شود. مجموعه‌های فازی خروجی نیز در دو نوع ثابت و خطی هستند که در این مطالعه از مجموعه‌ی فازی خطی استفاده شده است. علاوه بر این، تعداد تکرار در نظر گرفته شده برای آموزش شبکه برابر با ۵۰۰۰ در نظر گرفته شده است. روش مورد استفاده برای تولید Fuzzy Inference System (FIS) در این مطالعه، روش Fuzzy C-means Clustering (FCM) است که نسبت به روش‌های دیگر، به تعداد پارامتر کمتری نیاز دارد و عملکرد موفقی در مطالعات اخیر داشته است. نحوه‌ی بهینه‌سازی در شبکه‌ی ANFIS، دو روش بهینه‌سازی پس انتشار(BP)<sup>۳</sup> و تکیبی<sup>۴</sup> از BP و (LS) Least square (LS) که

با استفاده از برنامه‌نویسی بیان ژن، عمق آب‌شستگی در اطراف صفحات مستغق درون یک کanal خم ۱۸۰ درجه را شبیه‌سازی کردند.<sup>[۱۷]</sup> علاوه‌بر این، عظیمی و همکاران (۲۰۱۹) مقادیر آب‌شستگی در مجاورت تکیه‌گاه پل‌ها را توسط یک مدل تکیبی هوش مصنوعی تخمین زدند. آن‌ها مدل انفیس را با الگوریتم تکامل تفاضلی و روش تجزیه‌ی بردار منفرد ترکیب کردند.<sup>[۱۸]</sup>

با مرور مطالعات پیشین مشاهده می‌شود که مطالعات محدودی درباره‌ی الگوی آب‌شستگی در مجاورت پایه‌های پل دوقلو انجام شده است. همچنین در این مطالعه برای اولین با یک مدل تکیبی با عنوان ANFIS-FA برای تخمین عمق حفره‌ی آب‌شستگی در اطراف پایه‌های دوقلو ارائه شده است. به بیان دیگر، برای بهینه‌سازی مدل انفیس از الگوریتم کرم شبتاب استفاده شد. همچنین به منظور بررسی دقیق مدل عددی از شبیه‌سازی مونت‌کارلو بهره گرفته شد. همچنین از روش اعتبارسنجی ضربدری با  $k$  مساوی ۵ برای اجرای اعتبارسنجی نتایج مدل عددی استفاده شد. سپس برای هر یک از مدل‌های ANFIS و ANFIS-FA شش مدل متفاوت تولید شد. با انجام تحلیل حساسیت مدل برتر و مؤثرترین پارامتر بر روی عمق حفره‌ی آب‌شستگی در مجاورت پایه‌های پل دوقلو شناسایی شد.

## ۲. شبکه‌ی انفیس

شبکه‌ی انفیس تکیبی از سیستم فازی و شبکه‌ی عصبی مصنوعی است؛ به طوری که مزایای هر دو را به طور هم‌زمان در بردارد. بخش فازی رابطه‌ی بین ورودی و خروجی برقرار کرده است و پارامترهای مربوط به تابع عضویت بخش فازی به وسیله‌ی الگوریتم‌های آموزشی شبکه‌ی عصبی تعیین می‌شوند. پس خصوصیات هر دو مدل فازی و عصبی در این سیستم نهفته است. این سیستم به کمک مفاهیم زبانی<sup>۲</sup>، ارتباط غیرخطی بین ورودی‌ها و خروجی‌ها را برقرار و استنتاج می‌کند. ساختار مناسب ANFIS متناسب با داده‌های ورودی، درجه‌ی عضویت، قوانین و توابع درجه‌ی عضویت خروجی، انتخاب می‌شود. نمونه‌ی طراحی شده از مدل ANFIS با دو ورودی در شکل ۱ ارائه شده است. در لایه‌ی اول (ورودی) میزان تعلق هر ورودی به بازه‌های مختلف فازی مشخص می‌شود. با ضرب مقادیر ورودی به هر گره در یکدیگر، وزن قانون‌ها ( $w_i$ ) در لایه‌ی دوم به دست می‌آید. در لایه‌ی سوم، عمل محاسبه‌ی وزن نسبی قوانین انجام می‌گیرد. لایه‌ی چهارم، لایه‌ی قوانین است که از انجام عملیات بر روی سیگنال‌های ورودی به این لایه حاصل می‌شود. لایه‌ی آخر، خروجی شبکه ( $f$ ) است که هدف آن

می‌شود: [۱۷]

$$(7) \quad x_i(t+1) = x_i(t) + \beta_r(x_j - x_i)$$

به طور کلی، روند مربوط به الگوریتم کرم شب تاب به صورت زیر است:

۱. تعیین و مقداردهی اولیه‌ی کرم‌های شب تاب (جمعیت اولیه)

۲. بدست آوردن تابع هزینه برای هر فرد از جمعیت در موقعیت خود

۳. تخصیص تصادفی شدت نور به هر فرد از جمعیت

۴. تعیین بهترین (پرنورترین) فرد در جمعیت به واسطه‌ی محاسبه‌ی توابع هزینه‌ی کل افراد جمعیت

۵. حرکت دیگر افراد جمعیت به سمت بهترین فرد و به روزرسانی شدت نور با توجه به آن

۶. بررسی شرایط توقف؛ اگر شرایط توقف مهیا بود، حرکت به سمت مرحله‌ی بعد، در غیر این صورت حرکت به سمت گام ۴

۷. پایان الگوریتم.

عملکرد الگوریتم کرم شب تاب به طور کامل به تعداد جمعیت اولیه، تابع جذب و ضریب جذب وابسته است. هر چه ضریب جذب نور بیشتر باشد، سرعت جذب افراد جمعیت به سمت پرنورترین فرد، بیشتر می‌شود.

### ۳. الگوریتم کرم شب تاب

الگوریتم کرم شب تاب (FA)<sup>۵</sup>، اولین بار توسط یانگ، [۱۶] (۲۰۰۸) ارائه شد. ایده‌ی اصلی این الگوریتم از ارتباط نوری میان کرم‌های شب تاب الهام گرفته شده است. این الگوریتم را می‌توان از مظاهر هوش ازدحامی<sup>۶</sup> دانست که در آن، همکاری و احتمال رقابت اعاضی ساده و کم‌هوش، مرتباً از بالاتری از هوشمندی را ایجاد می‌کنند که قطعاً توسط هیچ‌یک از اجزای قابل حصول نیست. الگوریتم کرم شب تاب بر پایه‌ی قوانین زیر ارائه شده است (یانگ [۱۶]):

۱. همه‌ی کرم شب تاب‌ها دو جنسیتی هستند، یعنی صرف نظر از جنسیت خود به صورت جذاب‌ترو شفاف‌تری حرکت خواهند کرد به طوری که یک کرم شب تاب، تمام کرم شب تاب‌های دیگر را جذب می‌کند.

۲. درجه جذابیت یک کرم شب تاب با درخشش آن متناسب است. هم‌چنین ممکن است درخشندگی با افزایش فاصله از کرم شب تاب‌های دیگر کاهش یابد. حال اگر یک کرم شب تاب جذاب‌تری وجود نداشته باشد، آنگاه به صورت تصادفی حرکت خواهد کرد.

۳. درخشندگی یا شدت نور یک کرم شب تاب، توسط مقدار تابع هدف تعیین می‌شود. الگوریتم کرم شب تاب، الگوریتمی تکاملی بر پایه‌ی جمعیت است که از رفتار کرم‌های شب تاب در جست‌وجوی غذا و هوش جمعیتی آنها الهام گرفته شده است. در طبیعت کرم‌های شب تاب به صورت تصادفی حرکت می‌کنند و هر کرم طعمه‌ی بهتری پیدا کند، از خود نور بیشتری ساطع می‌کند و دیگران را به سمت خود جذب می‌کند. هر چه فاصله‌ی دو کرم از یکدیگر بیشتر باشد، درصد جذب آن‌ها به یکدیگر کمتر می‌شود. به عبارتی، فاصله با سرعت و میزان جذب نسبت عکس دارد. این الگوریتم از دو بخش اساسی تشکیل شده است: تغییرات شدت نور و حرکت به سمت کرم شب تاب با نور بیشتر میزان شدت نور به مقدار تابع هزینه بستگی دارد. پس در مسائل کمینه‌سازی، کرم شب تاب با نور زیادتر، کرم‌های شب تاب با نور کمتر را به خود جذب می‌کنند و فرض کنید  $n$  تعداد کرم شب تاب،  $x_i$  موقعیت ذره  $i^{th}$  و  $f(x_i)$  تابع هزینه باشد. پس میزان درخشندگی هر کرم، برابر با مقدار تابع هزینه آن خواهد بود: [۱۷]

$$(5) \quad I_i = f(x_i) \quad 1 \leq i \leq n$$

هر کرم شب تاب دارای یک مشخصه‌ی نور است که نشان می‌دهد تا چه اندازه‌ی بی‌قوی است. این مشخصه مقداری نسبی است و با تغییر فاصله بین دو کرم  $i$  و  $j$  تغییر می‌کند. تابع جذب به صورت زیر تعریف می‌شود: [۱۷]

$$(6) \quad \beta(r) = \beta_0 e^{-\gamma r^2}$$

که در آن  $\beta_0$  میزان جذب به ازای  $r = 0$  و  $\gamma$  ضریب جذب نور است. حرکت کرم  $i$  با موقعیت  $x_i$  به سمت کرم  $j$  با موقعیت  $x_j$  (با نور بیشتر) به صورت زیر محاسبه

### ۵. آب‌شستگی در اطراف پایه‌های پل

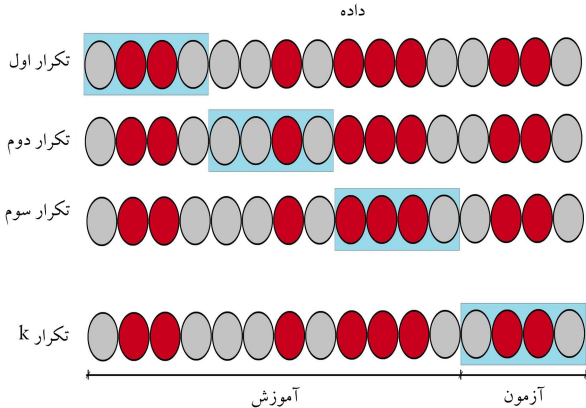
عطایی آشتیانی و بهشتی [۱۸] (۲۰۰۶)، عطایی و همکاران (۲۰۱۲)<sup>[۱۹]</sup> و امینی و همکاران (۲۰۱۰)<sup>[۲۰]</sup> بیان کردند که عمق آب‌شستگی در مجاورت گروه پایه‌های مستطیلی به طول، عرض و ارتفاع ۱۲، ۴۲، ۵۰ و ۷۰ متر است. آنها با نصب دو پایه‌ی پل به قطر ۶ سانتی‌متر مقدار آب‌شستگی در اطراف آنها را گزارش کردند. عمق اولیه‌ی لایه‌ی رسوب در این مطالعه‌ی آزمایشگاهی ۱۵ سانتی‌متر و طول آن ۶ متر است و پایه‌های جفت با فاصله‌ی  $d$  در وسط لایه‌ی رسوبات واقع شده است.

$$(8) \quad ds = f(d_{00}, m, n, D, d, S_n, h, U, U_c)$$

و اندگ و همکاران (۲۰۱۶) آب‌شستگی را در مجاورت دو پایه که به فاصله‌ی  $d$  از هم قرار دارند، اندازه‌گیری کردند. در مطالعه‌ی آنها مقادیر  $U_c, U, S_n, d, m, n$  به تقریباً ثابت هستند. با درنظر گرفتن گروه‌های بدون بعد رابطه‌ی ۱-۴ به صورت زیر بازنویسی می‌شود: [۲۱]

$$(9) \quad ds/h = f(D/h, d/h, Fr)$$

$$R^t = \frac{\left( \sum_{i=1}^n R_{(Predicted)i} R_{(Observed)i} - \sum_{i=1}^n R_{(Predicted)i} \sum_{i=1}^n R_{(Observed)i} \right)^t}{\left( \sum_{i=1}^n (R_{(Predicted)i})^t \right) - \sum_{i=1}^n \left( R_{(Predicted)i} \right)^t \left( \sum_{i=1}^n (R_{(Observed)i})^t - \sum_{i=1}^n (R_{(Observed)i})^t \right)} \quad (10)$$



شکل ۳. نحوه برخورد روش اعتبارسنجی ضربدری با مقادیر آزمایشگاهی.  
مطلق خطای مطلق میانگین ( $MAE$ ) و شاخص پراکندگی ( $SI$ ) به صورت زیر استفاده می‌شود:<sup>[۱۲]</sup>

$$RMSE = \sqrt{\frac{1}{n} \sum_{i=1}^n (R_{(predicted)i} - R_{(Observed)i})^2} \quad (11)$$

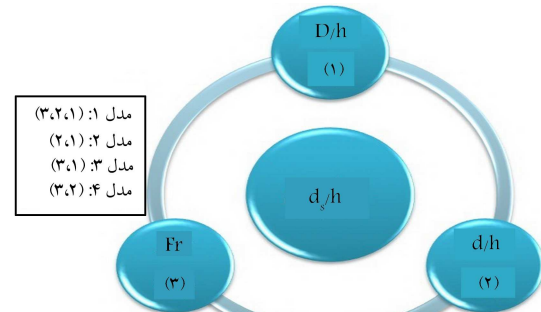
$$MAPE = 100 \times \frac{1}{n} \sum_{i=1}^n \left( \frac{|R_{(predicted)i} - R_{(Observed)i}|}{R_{(predicted)i}} \right) \quad (12)$$

$$MAE = \frac{1}{n} \sum_{i=1}^n |R_{(predicted)i} - R_{(Observed)i}| \quad (13)$$

$$SI = \frac{RMSE}{(\bar{R})_{(Observed)}} \quad (14)$$

در معادلات مذکور مقادیر  $i$  ( $R_{(predicted)i}$ ) ( $R_{(Observed)i}$ ) و  $n$  به ترتیب برابر مقادیر آزمایشگاهی، نتایج پیش‌بینی شده توسط مدل‌های عددی، میانگین مقادیر آزمایشگاهی و تعداد اندازه‌گیری‌های آزمایشگاهی‌اند. نزدیک بودن شاخص آماری به عدد یک نشان‌دهنده همبستگی بالای مدل عددی است. در مقابل نزدیک بودن مقادیر  $RMSE$ ,  $MAPE$ ,  $MAE$  و  $SI$  به عدد صفر حاکی از دقت بالای مدل عددی است.

در این مطالعه به منظور شناسایی مؤثرترین پارامتر ورودی، چهار مدل مختلف ترکیبی معرفی می‌شود. مدل شماره یک تابعی از کلیه‌ی پارامترهای ورودی ( $D/h$ ,  $d/h$ ,  $Fr$ ) است. همچنین با حذف هر یک از پارامترهای ورودی، سه مدل با دو پارامتر ورودی توسعه داده می‌شود. در ادامه به بررسی دقت مدل‌های مختلف پرداخته می‌شود. در شکل ۴ مقایسه‌ی نتایج شاخص‌های آماری مدل‌های ANFIS مختلف به تصویر کشیده شده است. همچنین مقایسه‌ی مقادیر آب شستشوی مشاهداتی و شبیه‌سازی شده در شکل ۵ نشان داده شده است. به عنوان مثال مقادیر ضریب تبیین برای ۱ ANFIS مساوی با  $979^{\circ}$  محاسبه شده است. علاوه بر این،



شکل ۲. نحوه ترکیب پارامترهای ورودی برای مدل‌های مختلف.

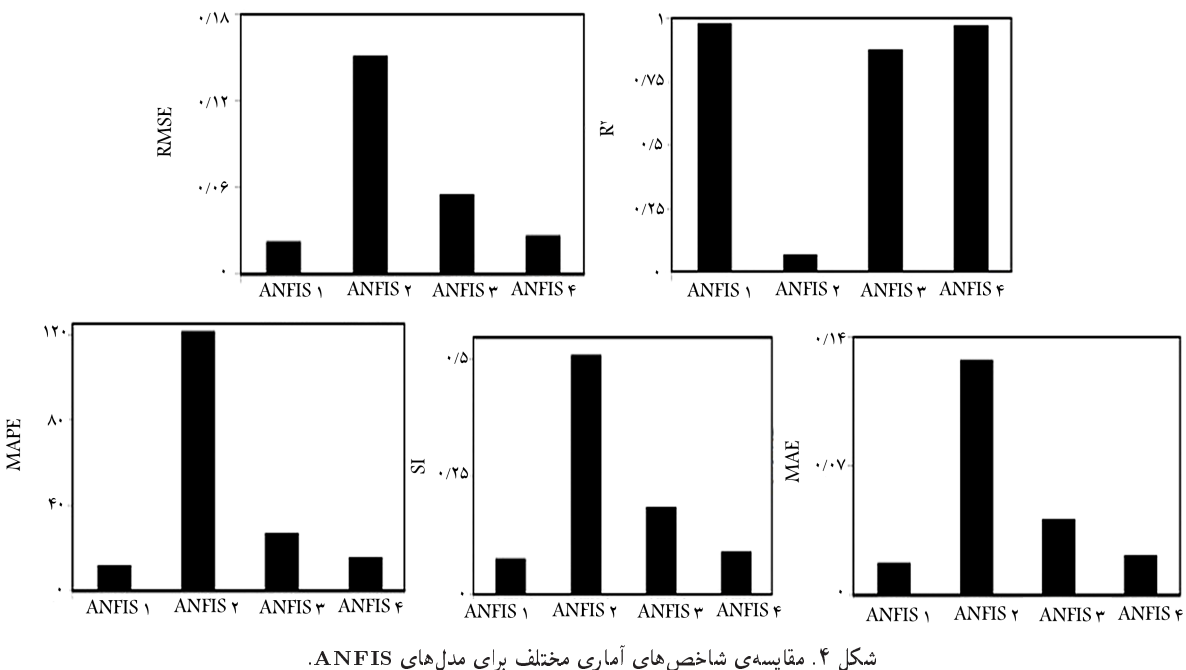
در اینجا  $Fr$  عدد فرود است. پارامترهای معادله ۱۲ به عنوان پارامترهای ورودی مدل‌های عددی در نظر گرفته می‌شوند. در شکل ۲ نحوه ترکیب پارامترهای ورودی برای مدل‌های مختلف نشان داده شده است.

در مطالعه‌ی حاضر به منظور بررسی توانایی مدل‌های عددی از شبیه‌سازی‌های مونت‌کارلو استفاده می‌شود. ایده‌ی اصلی روش شبیه‌سازی مونت‌کارلو بر این است که با استفاده از تصمیم‌گیری تصادفی مسائلی را که ممکن است در اصل قطعی باشند، حل می‌کند. روش‌های مونت‌کارلو عموماً برای شبیه‌سازی سیستم‌های فیزیکی و ریاضیاتی که اغلب حل آنها با استفاده از روش‌های دیگر محدود نیست، استفاده می‌شود. شبیه‌سازی مونت‌کارلو به طور کالی به وسیله‌ی توزیع احتمالی برای حل مسائل مختلف از قبیل بهمیه‌سازی و انتگرال‌گیری عددی استفاده می‌شود. علاوه بر این از روش اعتبارسنجی چندلایه‌ی برای بررسی عملکرد مدل‌های مذکور بهره‌گرفته می‌شود. در روش اعتبارسنجی چندلایه‌ی، نمونه‌ی اصلی به طور تصادفی به نمونه‌ی فرعی با اندازه‌های مساوی تقسیم می‌شود. درین نمونه‌های فرعی  $k$ ، یک نمونه‌ی فرعی به عنوان داده‌های اعتبارسنجی و باقیمانده‌ی آنها به عنوان داده‌های آزمون این مدل استفاده می‌شوند. سپس روند اعتبارسنجی چند لایه‌ی  $k$  بار تکرار می‌شود (برابر تعداد لایه‌ها)، هر کدام از نمونه‌های فرعی  $k$  دقیقاً یک بار به عنوان داده‌های اعتبارسنجی استفاده می‌شوند. نتایج بدست آمده از  $k$  لایه‌ی مذکور متوسط‌گیری می‌شود و به عنوان یک تخمین ارائه می‌شود. مزیت این روش، تکرار تصادفی نمونه‌های فرعی در روند آزمون و آموزش برای کلیه‌ی مشاهدات است و هر مشاهده دقیقاً یک بار برای اعتبارسنجی مورد استفاده قرار می‌گیرد. در این مطالعه مقدار  $k$  برابر با ۵ فرض شده است. همچنین طرح روش اعتبارسنجی چندلایه و نحوه برخورد با داده‌های آزمون و آموزش در شکل ۳ نشان داده است.

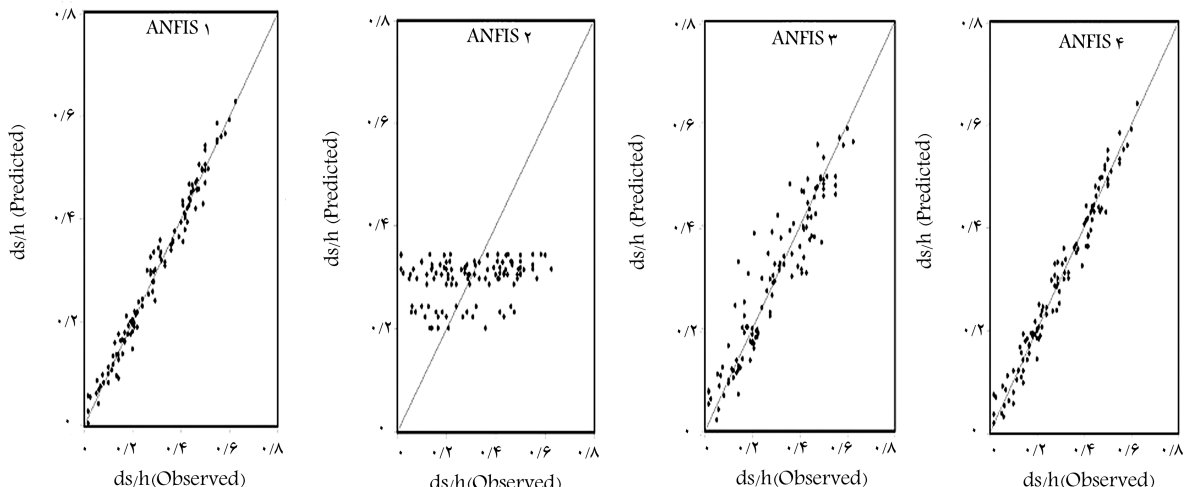
## ۶. بحث و نتایج

### ۱.۶. مدل‌های ANFIS

در مطالعه‌ی حاضر به منظور ارزیابی دقت مدل‌های عددی از شاخص‌های آماری ضریب تبیین ( $R^*$ ), خطای جذر میانگین مربعات ( $RMSE$ ), درصد میانگین



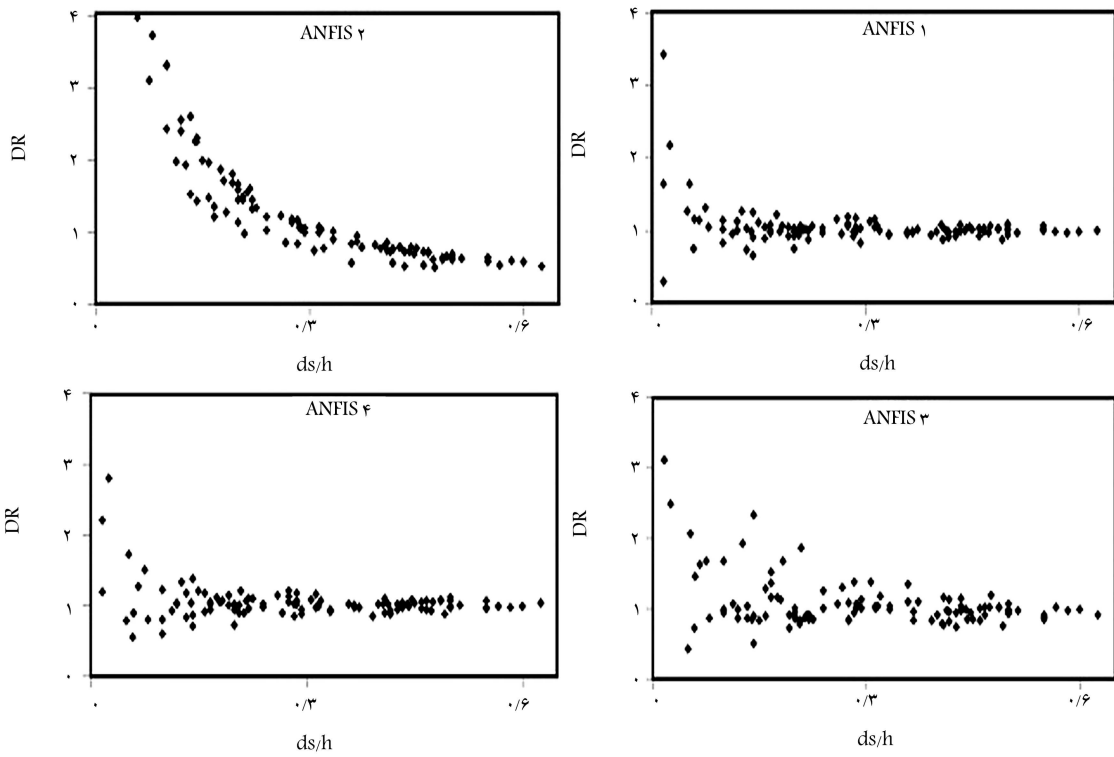
شکل ۴. مقایسه‌ی شاخص‌های آماری مختلف برای مدل‌های ANFIS



شکل ۵. نمودارهای پراکندگی مدل‌های مختلف ANFIS

برای این مدل مقادیر  $RMSE$  و  $MAPE$  به ترتیب برابر  $27/240$  و  $50/055$  می‌کند. برای این مدل به دست آمده است. علاوه بر این مقادیر شاخص پراکندگی و ضریب تبیین برای ۳ ANFIS به ترتیب  $187/0$  و  $876/0$  محاسبه شده است. برای شبیه‌سازی مقادیر آب‌شستگی توسط مدل ۴ ناگفته  $D/h$  پارامتر بدون بعد نادیده  $d/h$  است. برای مدل شده است. به عبارت دیگر این مدل تابعی از پارامترهای  $d/h$  و  $Fr$  است. برای مدل مذکور مقادیر شاخص‌های آماری  $R^2$ ،  $SI$  و  $MAPE$  به ترتیب برابر  $50/970$ ،  $15/425$  و  $15/591$  به دست آمده است. همچنین برای این مدل مقدار خطای جذر میانگین مرreعات برابر  $27/050$  تخمین زده است. بنابراین بر اساس تعییه و تحلیل نتایج مدل‌های ششگانه ANFIS مدل ۱ به عنوان مدل برتر معرفی می‌شود. علاوه بر این با توجه به تحلیل حساسیت مشاهده می‌شود با حذف پارامتر  $Fr$  دقت مدل سازی به طور چشمگیری کاهش یافت؛ پس این پارامتر مؤثرترین در ادامه به منظور بررسی بیشتر دقت مدل‌های ANFIS ضریب اختلاف

مقادیر شاخص آماری درصد میانگین مطلق خطای جذر میانگین مرreعات برای این مدل به ترتیب مساوی  $11/849$  و  $50/023$  به دست آمده است. در میان تمام مدل‌های ترکیبی، مدل شماره یک دارای بیشترین دقت و بالاترین همبستگی با مقادیر آزمایشگاهی است. همان‌طور که بیان شد برای شناسایی مؤثرترین پارامتر برای شبیه‌سازی عمق آب‌شستگی، سه مدل ترکیبی با دو پارامتر ورودی تعریف می‌شود. مثلاً مدل ۲ تابعی از  $(D/h, d/h)$  است و برای شبیه‌سازی عمق آب‌شستگی توسط این مدل ناگفته عدد فروز حذف شده است. برای مدل مذکور نتایج شاخص‌های آماری  $R^2$  و  $MAPE$  به ترتیب مساوی  $50/069$  و  $121/939$  به دست آمده است. همچنین برای مدل مذکور مقادیر شاخص‌های آماری  $R^2$  و  $MAPE$  به ترتیب برابر  $50/0511$  و  $50/0551$  می‌شوند. علاوه بر این برای تخمین  $d/h$  ناگفته شده است. به بیان دیگر پارامتر کلیه مدل‌های با دو پارامتر ورودی دارای کمترین دقت است. علاوه بر این برای تخمین آب‌شستگی توسط مدل ۳ ناگفته شده است. به بیان دیگر مدل مذکور مقادیر شاخص‌های آماری  $R^2$  و  $MAPE$  به ترتیب برابر  $50/0511$  و  $50/0551$  می‌شوند. علاوه بر این برای تخمین  $d/h$  ناگفته شده است. به بیان دیگر مدل مذکور مقادیر شاخص‌های آماری  $R^2$  و  $MAPE$  به ترتیب برابر  $50/0511$  و  $50/0551$  می‌شوند.



شکل ۶. نمودارهای تغییرات آبشنستگی در برابر ضریب اختلاف برای مدل‌های ANFIS.

دارند. در حالی که حدوداً ۴۰ درصد نتایج آبشنستگی مدل‌سازی شده توسط ANFIS ۴ دارای خطای کمتر ۵ درصد هستند.

## ۲.۶. مدل‌های ANFIS-FA

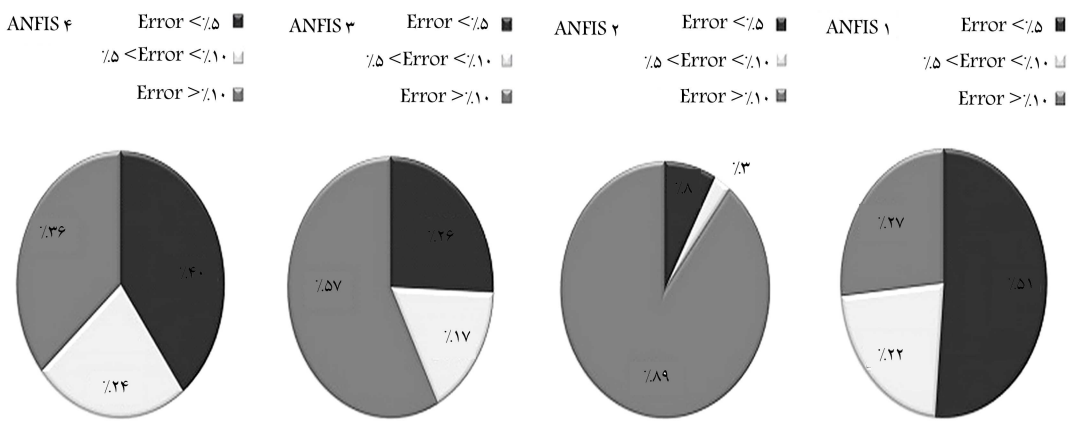
در این بخش به بررسی نتایج مدل‌های ترکیبی ANFIS-FA پرداخته می‌شود. در شکل ۸ شاخص‌های آماری مدل‌های مختلف ANFIS-FA با هم مقایسه شده است. بر اساس نتایج شبیه‌سازی، ۱ ANFIS-FA دارای بیشترین دقت در میان مدل‌های ترکیبی است. این مدل دارای همبستگی بالایی با مقادیر آزمایشگاهی است. مثلًاً مقدار  $R^*$  برای این مدل مساوی با ۹۹۱٪ تخمین زده است. علاوه بر این مقادیر  $RMSE$  و  $MAPE$  برای ۱ ANFIS-FA به ترتیب مساوی ۵,۸۷۶ و ۵,۱۵٪ محاسبه شده است. همچنین در میان مدل‌های با دو پارامتر ورودی، ۲ ANFIS-FA دارای کمترین مقدار دقت است. برای این مدل مقادیر  $MAE$ ,  $R^*$  و  $SI$  به ترتیب مساوی با ۰,۳۷, ۰,۳۷ و ۵۱٪ به دست آمده‌اند. این مدل در مقایسه با سایر مدل‌های ترکیبی دارای همبستگی بسیار پایینی با مقادیر مشاهداتی است. همچنین برای ۳ ANFIS-FA مقدار شاخص‌های آماری  $RMSE$  و  $MAPE$  به ترتیب برابر ۰,۰۵۲ و ۰,۰۵ به دست آمده است. در میان مدل‌های با دو پارامتر ورودی، مدل ۴ ANFIS-FA دارای بیشترین دقت است. برای این مدل مقادیر ضریب تبیین مساوی ۹۷۵٪ است و مقادیر  $SI$  و  $MAE$  به ترتیب برابر ۰,۰۸۴ و ۰,۰۲۰٪ محاسبه شده است. نمودارهای پراکنگی مدل‌های مختلف ANFIS-FA در قالب شکل ۹ قابل مشاهده است. با توجه به تجزیه و تحلیل نتایج مدل‌های ترکیبی، مدل ۱ ANFIS-FA مساوی با دقت قابل قبولی مقادیر آبشنستگی در مجاورت پایه‌های پل جفت را شبیه‌سازی کرد. همچنین با حذف پارامتر عدد فرود دقت مدل‌سازی به طور چشم‌گیری کاهش یافت. بنابراین عدد فرود به عنوان مؤثرترین پارامتر ورودی شناسایی شد.

( $DR$ ) مدل‌های مذکور ارزیابی می‌شود. این پارامتر شامل نسبت آبشنستگی شبیه‌سازی شده به آبشنستگی‌های مشاهداتی است:

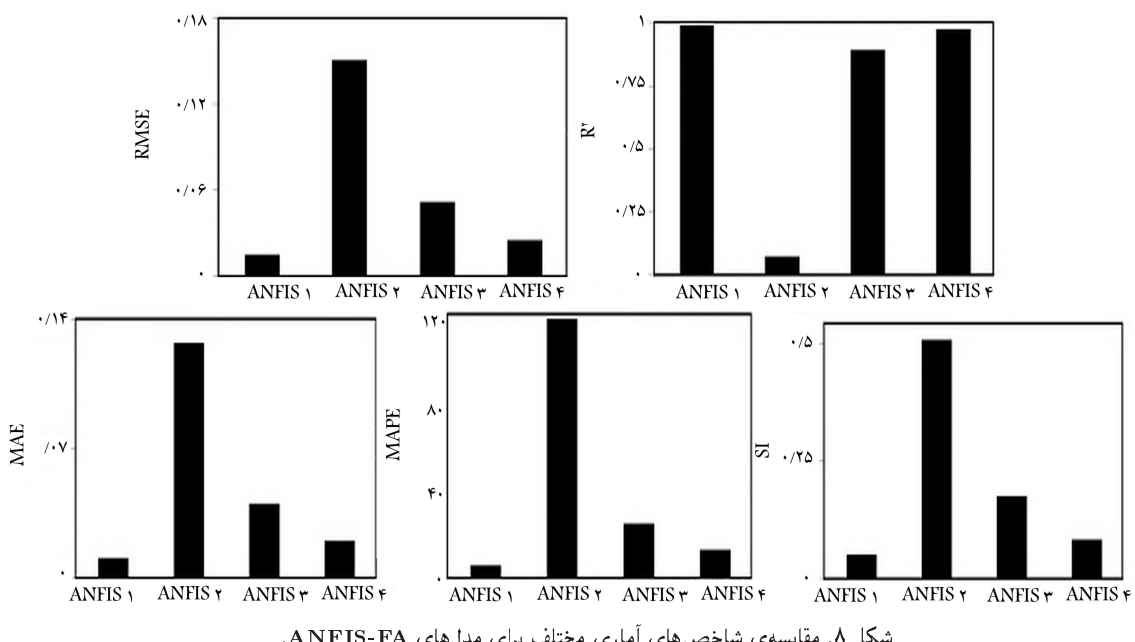
$$DR = \frac{R_{Predicted}}{R_{Observed}} \quad (15)$$

همچنین ضریب اختلاف بیشینه، کمینه و متوسط به ترتیب با  $DR_{max}$ ,  $DR_{ave}$  و  $DR_{min}$  نیز برای مدل‌های مختلف ترکیبی ANFIS محاسبه شده است. علاوه بر این تغییرات نسبت اختلاف در مقابل آبشنستگی مشاهداتی برای مدل‌های مختلف ANFIS در شکل ۶ به تصویر کشیده شده است. مثلًاً مقدار نسبت اختلاف متوسط برای مدل ۱ ANFIS مساوی ۱,۰۳۹ به دست آمده است. برای مدل مذکور مقادیر  $DR_{min}$ ,  $DR_{max}$  به ترتیب مساوی با ۳,۴۱۰ و ۵,۲۹۶٪ محاسبه شده است. همچنین مقدار  $DR_{ave}$  برای مدل‌های ANFIS ۲ و ۳ به ترتیب مساوی ۱,۹۴۴ و ۱,۱۲۸٪ تخمین زده شده است. نسبت اختلاف متوسط برای مدل ۴ ANFIS به تقریباً ۱,۰۶۱ است. همان‌گونه که مشاهده می‌شود، نزدیک‌ترین مقدار  $DR_{ave}$  به عدد یک برای ۱ ANFIS محاسبه شده است.

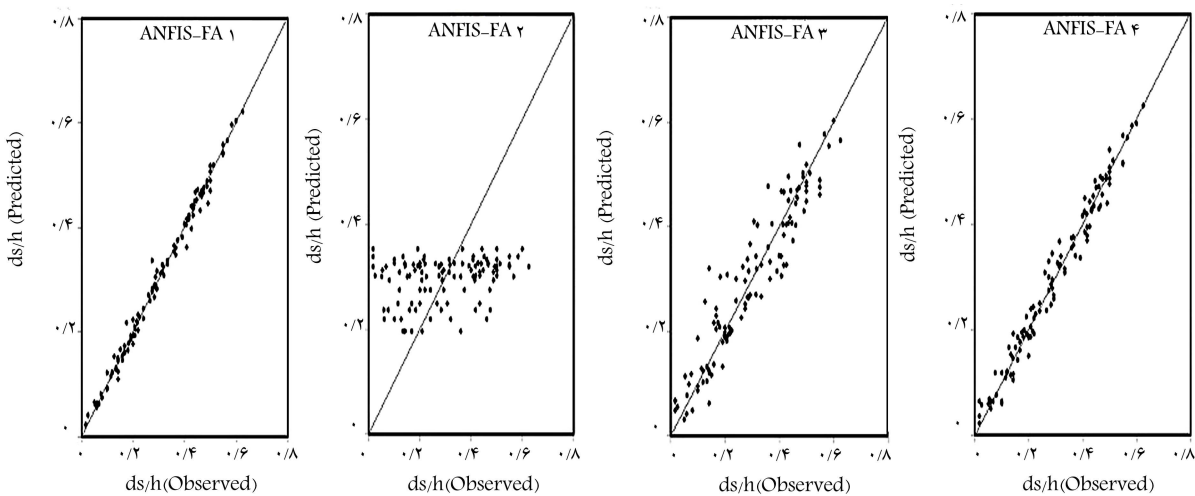
در ادامه توزیع خطا برای مدل‌های ANFIS مورد ارزیابی قرار می‌گیرد. در شکل ۷ نمودار توزیع خطا برای مدل‌های ۱ to ۴ ANFIS به تصویر کشیده شده است. مثلًاً بیش از نیمی از مقادیر آبشنستگی پیش‌بینی شده توسط مدل ۱ ANFIS دارای خطای کمتر از ۵ درصد هستند. در حالی که تقریباً ۲۷ درصد نتایج این مدل مقدار خطای بیشتر از ۱۰ درصد دارند. در مقابل حدوداً ۹۰ درصد نتایج مدل ۲ ANFIS خطای بیشتر از ۱۰ درصد دارند. همچنین تقریباً ۳ درصد نتایج مدل مذکور بین ۵ تا ۱۰ درصد است. علاوه بر این حدوداً یک چهارم نتایج مدل ۳ ANFIS خطای کمتر از ۵ درصد دارند. همچنین بیشتر از نیمی از مقادیر آبشنستگی تخمین زده شده توسط ۳ ANFIS خطای بیشتر از ۱۰ درصد



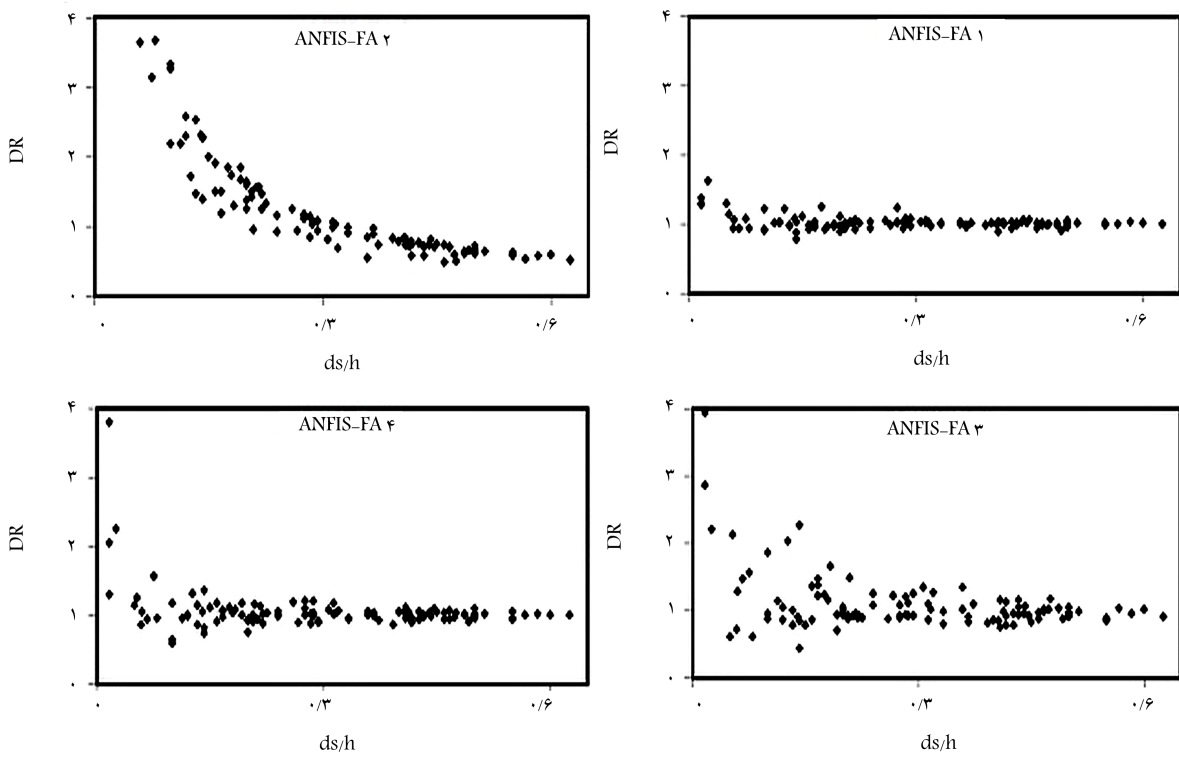
شکل ۷. توزیع خطای مدل‌های ANFIS



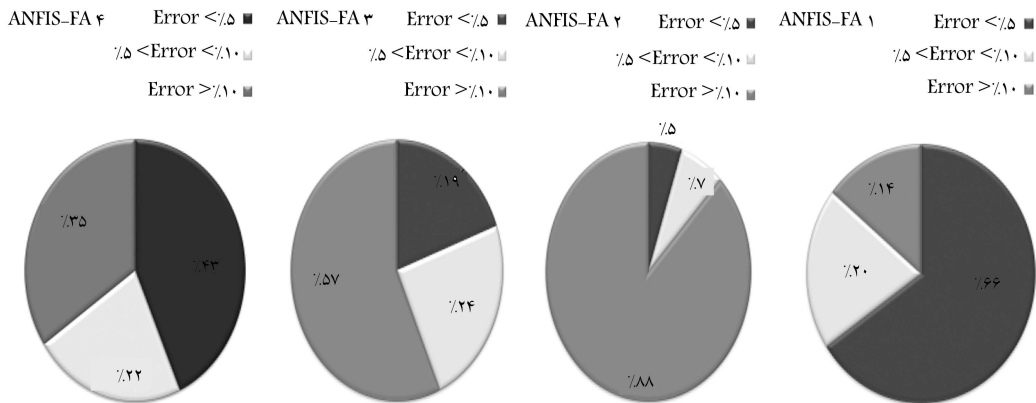
شکل ۸. مقایسه‌ی شاخص‌های آماری مختلف برای مدل‌های ANFIS-FA



شکل ۹. نمودارهای پراکندگی مدل‌های مختلف ANFIS-FA



شکل ۱۰. نمودارهای تغییرات آب شستگی در برابر ضریب اختلاف برای مدل‌های ANFIS-FA



شکل ۱۱. توزیع خطأ برای مدل‌های ANFIS-FA

دارند. برای مدل مذکور تقریباً ۱۴ درصد مقادیر آب شستگی بیشتر از ۱۰ درصد خطأ دارند. در حالی که اکثر قریب به انفاق نتایج مدل ۲ ANFIS-FA دارای خطأی حدوداً ۹۰ درصدی هستند. برای این مدل فقط ۵ درصد نتایج خطأی کمتر از ۵ درصد دارند. علاوه بر این بیش از نیمی از مقادیر آب شستگی تخمین زده شده توسط مدل ۳ ANFIS-FA خطأی بین ۵ تا ۱۰ درصد دارند. هم چنین بر اساس نتایج توزیع خطأ، تقریباً ۲۲ درصد آب شستگی‌های پیش‌بینی شده توسط مدل ۴ ANFIS-FA خطأی بین ۵ تا ۱۰ درصد دارند. با توجه به تحلیل نتایج مدل‌های عددی، کلیه مدل‌های ترکیبی مقادیر آب شستگی را با دقت بیشتری در مقایسه با مدل ANFIS متناظر تخمین زدند. هم چنین مدل ۱ به عنوان مدل برتر شناسایی شد. این مدل مقادیر آب شستگی را بر حسب کلیه پارامترهای ورودی تخمین می‌زند. عدد فرود جریان مؤثرترین پارامتر ورودی است که با حذف آن دقت مدل‌سازی به شکل قابل توجهی کاهش یافت.

در این بخش مقادیر ضریب اختلاف متوسط، بیشینه، و کمینه برای مدل‌های ترکیبی ارزیابی می‌شود. مثلاً  $DR_{ave}$  و  $DR_{min}$  برای مدل ANFIS-FA ۱،  $77.0^{\circ}$  و  $16.11^{\circ}$  محاسبه شده است. در حالی که نسبت اختلاف متوسط برای مدل‌های ANFIS-FA ۲ و ANFIS-FA ۳ به ترتیب  $11.11^{\circ}$  و  $11.42^{\circ}$  تخمین زده شده است. در حالی که مقدار  $DR_{ave}$  برای مدل ۳ ANFIS-FA برابر  $50.5^{\circ}$  به دست آمده است. بنا براین، در میان تمام مدل‌های نزدیک ترین مقدار خطا نسبت اختلاف به عدد یک برای مدل ۱ ANFIS-FA محاسبه شده است. تغییرات DR در مقابل مقادیر آب شستگی در مجاورت پایه‌های پل جفت در شکل ۱۰ به تصویر کشیده شده است. در ادامه توزیع خطأ برای مدل‌های ANFIS-FA ۴ نشان داد. بررسی می‌شود که در شکل ۱۱ نشان داد شده است. مثلاً حدوداً ۶۶ درصد نتایج مدل ۱ ANFIS-FA دارای خطأی کمتر از ۵ درصد هستند. برای این مدل یک پنجم نتایج خطأی بین ۵ تا ۱۰ درصد

جدول ۱. نتایج تحلیل عدم قطعیت برای مدل‌های ۱ و ANFIS-FA

مدل‌ها	تعداد نمونه‌ها	میانگین خطای پیش‌بینی شده	انحراف استاندارد	$S_e$	عرض باند عدم قطعیت	۹۵٪ خطای پیش‌بینی شده
ANFIS ۱	۱۱۳	-۱,۳۹۸E-۸	۰,۰۲۳	۰,۰۰۲	۰ ± ۰/۰۰۴	۰,۰۰۴ و -۰,۰۰۴
ANFIS-FA ۱	۱۱۳	-۳,۵۴۶E-۹	۰,۰۱۵	۰,۰۰۱	۰ ± ۰/۰۰۳	۰,۰۰۳ و -۰,۰۰۳

## ۸. نتیجه‌گیری

در مطالعه‌ی حاضر با استفاده از شبکه‌ی ANFIS و الگوریتم کرم شب‌تاب یک مدل ترکیبی بهینه‌سازی برای مدل‌سازی عمق آب‌شستگی در اطراف پایه‌های پل جفت ارائه شد. برای بررسی دقت مدل عددی از شیوه‌سازی‌های مونت‌کارلو بهره گرفته شد و همچنین برای صحبت‌سننجی نتایج مدل‌سازی از روش اعتبارسنجی ضربدری با  $k = 5$  استفاده شد. سپس با استفاده از پارامترهای مؤثر بر روی عمق آب‌شستگی، چهار مدل ANFIS و ANFIS-FA توسعه داده شد. سپس با تجزیه و تحلیل نتایج مدل‌های عددی نشان داده شد که مدل‌های ترکیبی در مقایسه با مدل‌های ANFIS مقادیر آب‌شستگی را با دقت بیشتری تخمین می‌زنند. علاوه بر این مدل برتر معرفی شد. مدل برتر (ANFIS-FA ۱) مقادیر آب‌شستگی را بر حسب تمام پارامترهای ورودی تخمین زد. این مدل دارای دقت قابل قبولی بود؛ مثلاً مقدار  $R^*$ ,  $RMSE$ ,  $MAPE$ ,  $R$  و  $DR_{ave}$ ,  $DR_{max}$  و  $DR_{min}$  برای این مدل به ترتیب مساوی با  $۰,۹۹۱$ ,  $۰,۸۷۶$ ,  $۰,۱۵$  و  $۰,۰۱۵$  تخمین زده شد. علاوه بر این، مقادیر متساوی  $۱,۶۱۱$  (مدل برتر) به ترتیب مساوی  $۰,۷۷۰$ ,  $۰,۱۶۰$  و  $۰,۰۱۶$  محاسبه شدند. بر اساس نتایج تحلیل حساسیت، پارامتر عدد فرود جریان مؤثرترین پارامتر ورودی شناسایی شد. تحلیل عدم قطعیت نشان داد که مدل برتر دارای عملکردی بیشتر از مقدار واقعی بود. بنابراین مدل ۱ ANFIS دارای عملکردی کمتر از مقدار واقعی بوده و در مقابل ANFIS-FA ۱ دارای عملکردی بیشتر از مقدار واقعی است. پیشنهاد می‌شود که سایر مدل‌های هوش مصنوعی و الگوریتم‌های بهینه‌سازی دیگر برای تخمین الگوی آب‌شستگی در مجاورت سازه‌های مختلف هیدرولیکی استفاده شود.

## ۷. تحلیل عدم قطعیت

در ادامه به انجام تحلیل عدم قطعیت برای مدل‌های برتر ANFIS و ANFIS-FA پرداخته می‌شود. تحلیل عدم قطعیت برای توصیف خطای پیش‌بینی شده توسط مدل‌های ذکور مورد استفاده قرار می‌گیرد که در آن مقدار خطای پیش‌بینی شده توسط مدل عددی  $e_j$  به صورت تفاضل بین مقادیر تراز آب زیرزمینی پیش‌بینی شده ( $P_j$ ) و مقادیر مشاهداتی ( $T_j$ ) محاسبه می‌شود  $e_j = P_j - T_j$ .  $e_j = \bar{e} = \sum_{j=1}^n e_j$  به دست مقدار میانگین خطای پیش‌بینی شده به صورت  $\bar{e} = \sqrt{\sum_{j=1}^n (e_j - \bar{e})^2 / n}$  تعریف می‌شود. معنی بودن مقدار  $\bar{e}$  نشان‌دهنده‌ی عملکرد کمتر از مقدار واقعی بودن مدل عددی است. در مقابل مثبت بودن  $\bar{e}$  به معنای عملکرد بیشتر از مقدار واقعی بودن مدل عددی ذکور است. با استفاده از پارامترهای  $\bar{e}$  و  $S_e$  یک بازه‌ی اطمینان در اطراف مقدار پیش‌بینی شده از یک خطاطو سطح روش ویلسون تولید می‌شود. در ادامه با استفاده از ANFIS-FA ۱ به صورت تقریبی منجر به  $95\%$  بازه‌ی اطمینان می‌شود. نتایج تحلیل عدم قطعیت برای مدل‌های ۱ و ANFIS-FA ۱ به دست آمد؛ بنابراین مدل ۱ در جدول ۱ مرتب شده است. مقادیر خطای متوسط پیش‌بینی شده برای ۱ و ANFIS-FA ۱ به دست آمد؛ بنابراین مدل ۱ ترتیب مساوی  $-۱,۳۹۸E-۸$  و  $-۳,۵۴۶E-۹$  به دست آمد؛ در مقابل ۱ دارای عملکردی کمتر از مقدار واقعی است. علاوه بر این طول بازه‌ی اطمینان تقریبی منجر به  $95\%$  بازه‌ی اطمینان می‌شود. نتایج تحلیل عدم قطعیت برای مدل‌های ۱ و ANFIS-FA ۱ به دست آمد؛ بنابراین مدل ۱ در جدول ۱ مرتب شده است.

## پابندی

1. culvert
2. linguistic language concept
3. backpropagation
4. hybrid
5. firefly algorithm
6. swarm intelligence

## منابع (References)

1. Ataie-Ashtiani, B., Baratian-Ghorghi, Z. and Beheshti, A.A. "Experimental investigation of clear-water local scour of compound piers", *Journal of Hydraulic Engineering*, **136**(6), pp. 343-351 (2010).
2. Amini, A., Melville, B.W., Ali, T.M. and et al. "Clear-water local scour around pile groups in shallow-water flow", *Journal of Hydraulic Engineering*, **138**(2), pp. 177-185 (2011).
3. Petersen, T.U., Sumer, B.M. and Fredsoe, J "Edge scour at scour protections around piles in the marine environment-Laboratory and field investigation", *Coastal Engineering*, **106**, pp. 42-72 (2015).
4. Wang, H., Tang, H. and Liu, Q. "Local scouring around twin bridge piers in open-channel flows", *Journal of Hydraulic Engineering*, **142**(9), pp. 06016008-1-8 (2016).
5. Oliveto, G. and Marino, M.C. "Temporal scour evolution at non-uniform bridge piers", *In Proceedings of the Institution of Civil Engineers-Water Management*, **170**(5), pp. 254-261 Thomas Telford Ltd (2016).

6. Trent, R., Gagarin, N. and Rhodes, J. "Estimating pier scour with artificial neural networks", *In Hydraulic Engineering*, **93**, pp. 1043-1048 (1993).
7. Liriano, S.L. and Day, R.A. "Prediction of scour depth at culvert outlets using neural networks", *Journal of Hydroinformatics*, **3**(4), pp. 231-238 (2001).
8. Bateni, S.M. and Jeng, D.S. "Estimation of pile group scour using adaptive neuro-fuzzy approach", *Ocean Engineering*, **34**(8), pp. 1344-1354 (2007).
9. Firat, M. and Gungor, M. "Generalized regression neural networks and feed forward neural networks for prediction of scour depth around bridge piers", *Advances in Engineering Software*, **40**(8), pp. 731-737 (2009).
10. Muzzammil, M. "ANFIS approach to the scour depth prediction at a bridge abutment", *Journal of Hydroinformatics*, **12**(4), pp. 474-485 (2010).
11. Najafzadeh, M., Barani, G.A. and Hessami Kermani, M.R. "Abutment scour in clear-water and live-bed conditions by GMDH network", *Water Science & Technology*, **67**(5), pp.1121-1128 (2013).
12. Azimi, H., Bonakdari, H., Ebtehaj, I. and et al. "Evolutionary pareto optimization of an ANFIS network for modeling scour at pile groups in clear water condition", *Fuzzy Sets and Systems*, **319**, pp. 50-69 (2017).
13. Shabanlou, S., Azimi, H., Ebtehaj, I. and et al. "Determining the scour dimensions around submerged vanes in a 180 bend with the gene expression programming technique", *Journal of Marine Science and Application*, **17**(2), pp. 233-240 (2018).
14. Azimi, H., Bonakdari, H., Ebtehaj, I. and et al. "A pareto design of evolutionary hybrid optimization of ANFIS model in prediction abutment scour depth", *Sadhana*, **44**(7), p. 169 (2019).
15. Jang, J.S.R. "ANFIS: Adaptive-network-based fuzzy inference system", *IEEE Trans. Syst. Man. Cybern.*, **23**(3), pp. 665-685. (1993).
16. Yang, X.S. "Firefly algorithm (chapter 8)", *Nature-inspired Metaheuristic Algorithms*, Luniver Press (2008).
17. Yang, X.S. "Firefly algorithm, stochastic test functions and design optimization", *Int J Bio-Ins Comp*, **2**(2), pp. 78-84 (2010).
18. Ataie-Ashtiani, B. and Beheshti, A.A. "Experimental investigation of clear-water local scour at pile groups", *Journal of Hydraulic Engineering*, **132**(10), pp. 1100-1104 (2006).